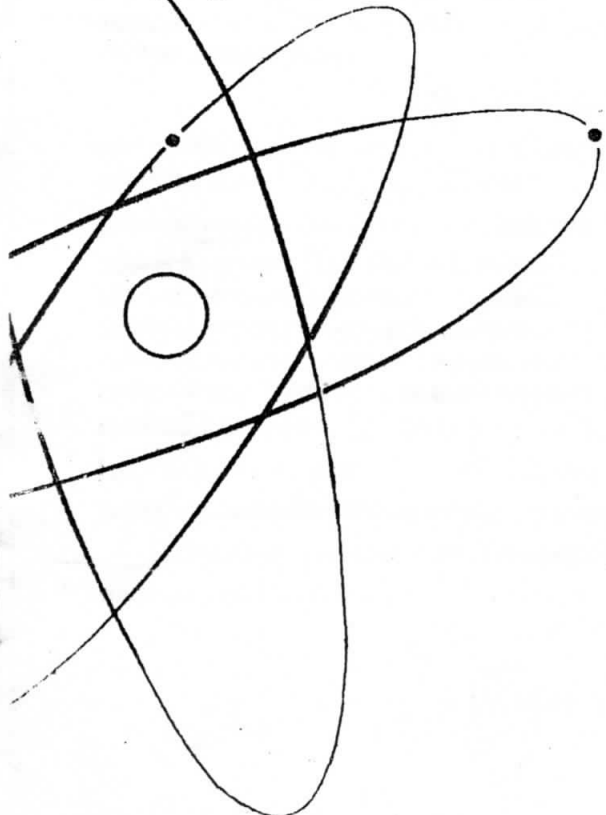


ISSN 0021-3470



ИЗВЕСТИЯ  
ВЫСШИХ УЧЕБНЫХ  
ЗАВЕДЕНИЙ

# РАДИОЭЛЕКТРОНИКА



том 42

1-2

ИЗДАНИЕ  
НАЦИОНАЛЬНОГО  
ТЕХНИЧЕСКОГО  
УНИВЕРСИТЕТА  
УКРАИНЫ  
«КИЕВСКИЙ  
ПОЛИТЕХНИЧЕСКИЙ  
ИНСТИТУТ»

1999

ТРИФОНОВ А. П., ГЛАЗНЕВ А. А.

## ОЦЕНКА ДИСПЕРСИИ СЛУЧАЙНОГО СИГНАЛА С НЕИЗВЕСТНОЙ ПОЛОСОЙ ЧАСТОК

Выполнен синтез и анализ алгоритма совместной оценки максимального правдоподобия дисперсии и полосы частот случайного сигнала. Приведены результаты статистического моделирования совместной оценки.

В [1] получена структура и найдены характеристики адаптивного максимально-правдоподобного измерителя дисперсии случайного сигнала с прямоугольной формой спектра мощности. При этом предполагалось, что полоса частот анализируемого случайного сигнала априори точно известна. Однако при практической реализации алгоритмов обработки случайных сигналов в радиоэлектронных системах полоса частот сигнала часто бывает известна не точно. Поэтому рассмотрим возможность адаптивного измерения дисперсии случайного сигнала с априори неизвестной полосы частот. Аналогично [1] полагаем, что в течение времени  $[0; T]$  обработка доступна реализации наблюдаемых данных вида

$$x(t) = s(t) + v(t) + n(t), \quad (1)$$

здесь  $v(t)$  — широкополосная гауссовская стационарная помеха с постоянной в полосе частот  $[-\omega_m / 2; \omega_m / 2]$  и априори неизвестной односторонней спектральной плотностью  $\gamma_0$ ,  $\omega_m$  — полоса пропускания преселектора радиоэлектронной системы [1], на выходе которой необходимо измерить дисперсию  $D_0$  гауссовского стационарного случайного сигнала  $s(t)$ ;  $n(t)$  — гауссовский белый шум с односторонней спектральной плотностью  $N_0$ , который описывает собственные шумы элементов радиоэлектронной системы, включенных после преселектора. Следуя [1], прямоугольный спектр мощности центрированного сигнала  $s(t)$  запишем как  $G_s(\omega) = 2\pi D_0 I(\omega / \Omega_0) / \Omega_0$ , где  $I(x) = 1$  при  $|x| < 1/2$  и  $I(x) = 0$  при  $|x| > 1/2$ , а  $\Omega_0$  — априори неизвестная полоса частот анализируемого случайного сигнала, причем  $\Omega_0 < \omega_m$ .

Рассмотрим, как влияет априорное незнание полосы частот сигнала  $\Omega_0$  на точность оценки дисперсии

$$\hat{D} = \frac{1}{T(k-1)} \left[ k \int_0^T y_2^2(t) dt - \int_0^T y_1^2(t) dt \right], \quad (2)$$

синтезированной в [1]. В (2)  $y_i(t)$  — отклики фильтров с передаточными функциями  $H_i(\omega)$  ( $i = 1, 2$ ) на реализацию наблюдаемых данных (1). Передаточные функции фильтров  $H_i(\omega)$  удовлетворяют соотношениям:

$$|H_1(\omega)|^2 = I(\omega / \omega_m), |H_2(\omega)|^2 = I(\omega / \Omega^*), k = \omega_m / \Omega^*,$$

а  $\Omega^*$  — ожидаемое (предполагаемое) значение полосы частот случайного сигнала, причем в общем случае  $\Omega^* \neq \Omega_0$  и  $\Omega^* < \omega_m$ . Отметим, что структура алгоритма оценки (2) инвариантна к спектральным плотностям помехи  $\gamma_0$  и белого шума  $N_0$ .

Подставляя в (2) реализацию наблюдаемых данных (1) и выполняя усреднение при фиксированных значениях  $D_0$  и  $\Omega_0$ , получаем для условных смещения (систематической ошибки) и рассеяния (среднего квадрата ошибки) оценки (2) выражения:

$$b(\hat{D} | D_0, \delta \Omega) = \langle \hat{D} - D_0 \rangle = D_0 k_0 \min(\delta \Omega, 0) / (k_0 - \delta \Omega - 1), \quad (3)$$

$$\begin{aligned} V(\hat{D} | D_0, \delta \Omega) = & \langle (\hat{D} - D_0)^2 \rangle = b^2 (\hat{D} | D_0, \delta \Omega) + \\ & + D_0^2 \{ k_0 (k_0 - 2 \delta \Omega - 2) [(1 + 2 q) \min(\delta \Omega, 0) + (1 + q)^2 + \\ & + \delta \Omega q^2] + (\delta \Omega + 1)^2 (1 + 2 q + k_0 q^2) \} / \mu [k_0 - \delta \Omega - 1]^2. \end{aligned} \quad (4)$$

Здесь  $\mu = T \Omega_0 / 4 \pi$ ,  $k_0 = \omega_m / \Omega_0$ ,  $q = (\gamma_0 + N_0) \Omega_0 / 4 \pi D_0$  — отношение суммарной средней мощности помехи и белого шума в полосе частот случайного сигнала к средней мощности самого сигнала,  $\delta \Omega = (\Omega^* - \Omega_0) / \Omega_0$ .

Проигрыш в точности оценки дисперсии вследствие неточного знания полосы частот случайного сигнала будем характеризовать отношением  $\chi = V(\hat{D} | D_0, \delta \Omega) / V(\hat{D} | D_0)$ , где  $V(\hat{D} | D_0) = V(\hat{D} | D_0, \delta \Omega = 0)$  — рассеяние оценки дисперсии при априори точно известном значении полосы частот случайного сигнала [1]. Зависимость  $\chi(\delta \Omega)$  для  $\mu = 100$  и различных значений  $q$  приведена на рис. 1 (для  $k_0 = 2$ ) и рис. 2 (для  $k_0 = 5$ ). Кривые 1 рассчитаны для  $q = 0, 1, 2 — 0, 5, 3 — 1$ . Как следует из рис. 1, 2, априорное незнание полосы частот случайного сигнала может привести к значительному снижению точности оценки дисперсии (2). Однако проигрыш в точности оценки убывает с ростом параметров  $q$  и  $k_0$ . Отметим, что для не слишком больших значений  $|\delta \Omega|$  проигрыш существенно меньше при  $\delta \Omega > 0$ , чем при  $\delta \Omega < 0$ . Следовательно, если неизвестно точное значение полосы частот сигнала  $\Omega_0$ , то полосу

пропускания  $\Omega^*$  фильтра  $H_2(\omega)$  измерителя (2) следует выбирать несколько большей, чем ожидаемые значения полосы частот сигнала. При этом, если полоса пропускания фильтра превышает полосу частот сигнала не более чем на 10...15%, то проигрыш в точности оценки дисперсии относительно мал — менее 3 дБ. Если же полоса частот сигнала априори известна с погрешностью более 10...15%, то проигрыш в точности оценки может быть значительным, достигая значений 10...15 дБ.

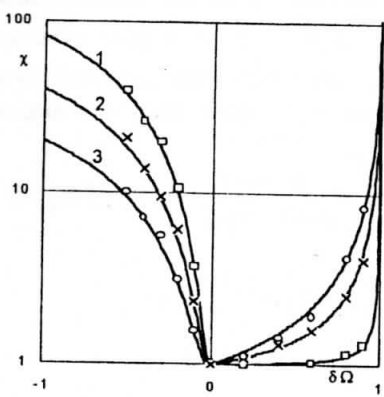


Рис. 1

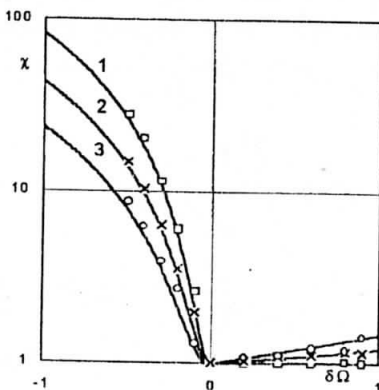


Рис. 2

Для устранения проигрыша в точности оценки дисперсии сигнала вследствие незнания его полосы частот целесообразно использовать приемное устройство, реализующее совместные оценки дисперсии случайного сигнала и его полосы частот. Для синтеза такого устройства, адаптирующегося к широкополосной помехе с неизвестной мощностью и к неизвестной полосе частот сигнала, используем метод максимального правдоподобия [2, 3]. Аналогично [1] введем в рассмотрение три вспомогательные гипотезы  $H_i$ ,  $i = 0, 1, 2$ . Гипотеза  $H_2$  предполагает, что реализация наблюдаемых данных имеет вид (1). Гипотеза  $H_1$  предполагает, что анализируемый случайный сигнал отсутствует, так что  $x(t) = v(t) + n(t)$ . Наконец, гипотеза  $H_0$  предполагает, что наблюдается только белый шум и  $x(t) = n(t)$ . Обозначим  $F_2(D, \Omega, \gamma)$  — логарифм функционала отношения правдоподобия (ФОП) для гипотезы  $H_2$  при альтернативе  $H_0$  и  $F_1(\gamma)$  — логарифм ФОП для гипотезы  $H_1$  при альтернативе  $H_0$ . Тогда оценки максимального правдоподобия (ОМП) дисперсии  $\tilde{D}$  и полосы частот  $\tilde{\Omega}$  случай-

ногого сигнала  $s(t)$  при наличии помехи с неизвестной спектральной плотностью  $\gamma_0$  можно записать в виде

$$(\tilde{D}, \tilde{\Omega}) = \arg \sup L(D, \Omega), \Omega \in [\Omega_{\min}; \Omega_{\max}], \quad (5)$$

$$L(D, \Omega) = \sup_{\gamma} F_2(D, \Omega, \gamma) - \sup_{\gamma} F_1(\gamma). \quad (6)$$

Здесь  $[\Omega_{\min}; \Omega_{\max}]$  — априорный интервал возможных значений неизвестной полосы частот случайного сигнала и  $\Omega_{\max} < \omega_m$ . Введение вспомогательных гипотез  $H_i, i = 0, 1, 2$  позволяет избежать существенных математических трудностей при получении логарифма ФОП. В результате, полагая  $\mu \gg 1$  и используя [2, 4], имеем

$$F_2(D, \Omega, \gamma) = \frac{T(\gamma + d)}{\pi N_0(\gamma + d + N_0)} \int_0^{\Omega/2} S_T(\omega) d\omega + \frac{T\gamma}{\pi N_0(\gamma + N_0)} \int_{\Omega/2}^{\omega_m/2} S_T(\omega) d\omega - \frac{T}{4\pi} \left[ \Omega \ln \left( 1 + \frac{\gamma + d}{N_0} \right) + (\omega_m - \Omega) \ln \left( 1 + \frac{\gamma}{N_0} \right) \right], \quad (7)$$

$$F_1(\gamma) = F_2(0, 0, \gamma), \quad (8)$$

$d = 4\pi D/\Omega$ ,  $S_T(\omega) = \left| \int_0^T x(t) \exp(-j\omega t) dt \right|^2 / T$  — периодограмма реализации наблюдаемых данных. Подставляя (7), (8) в (5), (6), необходим ОМП дисперсии и полосы частот случайного сигнала

$$\tilde{D} = \frac{1}{\pi} \left[ \int_0^{\Omega/2} S_T(\omega) d\omega - \frac{1}{\omega_m/\Omega - 1} \int_{\Omega/2}^{\omega_m/2} S_T(\omega) d\omega \right], \quad (9)$$

$$\tilde{\Omega} = \operatorname{argsup} M(\Omega), \Omega \in [\Omega_{\min}; \Omega_{\max}], \quad (10)$$

$$M(\Omega) = \frac{T\omega_m}{4\pi} \ln \left[ \frac{(\omega_m - \Omega) \int_0^{\omega_m/2} S_T(\omega) d\omega}{\omega_m \int_{\Omega/2}^{\omega_m/2} S_T(\omega) d\omega} \right] + \frac{T\Omega}{4\pi} \ln \left[ \frac{\Omega \int_{\Omega/2}^{\omega_m/2} S_T(\omega) d\omega}{(\omega_m - \Omega) \int_0^{\Omega/2} S_T(\omega) d\omega} \right]. \quad (11)$$

Получим характеристики оценок дисперсии (9) и полосы частот (10) случайного сигнала. Для этого представим (11) в виде

$$M(\Omega) = \frac{T \omega_m}{4\pi} \ln \left[ \frac{L_1(\omega_m)}{L_2(\Omega)} \right] + \frac{T \Omega}{4\pi} \ln \left[ \frac{L_2(\Omega)}{L_1(\Omega)} \right], \quad (12)$$

где

$$L_1(\Omega) = \frac{4}{\Omega(\gamma_0 + N_0)} \int_0^{\Omega/2} S_T(\omega) d\omega, \quad (13)$$

$$L_2(\Omega) = \frac{4}{(\omega_m - \Omega)(\gamma_0 + N_0)} \int_{\Omega/2}^{\omega_m/2} S_T(\omega) d\omega. \quad (14)$$

Функцию  $L_1(\Omega)$  представим в виде суммы сигнальной и нормированной шумовой функции [2]:  $L_1(\Omega) = S_1(\Omega) + \epsilon N_1(\Omega)$ ,  $\epsilon = 1/\sqrt{\mu}$ ,  $S_1(\Omega) = 1 + \min(\Omega, \Omega_0)/q\Omega$ ,  $N_1(\Omega) = \sqrt{\mu} [L_1(\Omega) - S_1(\Omega)]$ . Нормированная шумовая функция  $N_1(\Omega)$  обладает нулевым математическим ожиданием и корреляционной функцией

$$\langle N_1(\Omega_1) N_1(\Omega_2) \rangle = \frac{\Omega_0}{q^2 \Omega_1 \Omega_2} [(1+2q) \min(\Omega_0, \Omega_1, \Omega_2) + q^2 \min(\Omega_1, \Omega_2)].$$

Причем дисперсия шумовой функции  $\langle N_1^2(\Omega_0) \rangle = (1+1/q)^2$  и ограничена при любых значениях  $q > 0$  и  $\mu \rightarrow \infty$ .

Аналогично функцию  $L_2(\Omega)$  представим в виде суммы сигнальной и нормированной шумовой функции:  $L_2(\Omega) = S_2(\Omega) + \epsilon N_2(\Omega)$ ,  $S_2(\Omega) = 1 + \max(\Omega_0 - \Omega, 0)/q(\omega_m - \Omega)$ ,  $N_2(\Omega) = \sqrt{\mu} [L_2(\Omega) - S_2(\Omega)]$ . Нормированная шумовая функция  $N_2(\Omega)$  обладает нулевым математическим ожиданием и корреляционной функцией

$$\begin{aligned} \langle N_2(\Omega_1) N_2(\Omega_2) \rangle = & \frac{\Omega_0}{q^2 (\omega_m - \Omega_1)(\omega_m - \Omega_2)} \{ (1+2q) [\max(\Omega_0, \Omega_1, \Omega_2) - \\ & - \max(\Omega_1, \Omega_2)] + q^2 \min(\omega_m - \Omega_1, \omega_m - \Omega_2) \}. \end{aligned}$$

Причем дисперсия шумовой функции  $\langle N_2^2(\Omega_0) \rangle = (k_0 - 1)^{-1}$  и ограничена при любых значениях  $k_0 > 1$  и  $\mu \rightarrow \infty$ .

Подставив полученные выражения в (12), получим  $M(\Omega)$  как функцию параметра  $\varepsilon$ :

$$M(\Omega) = -\frac{T\Omega}{4\pi} \ln [S_1(\Omega) + \varepsilon N_1(\Omega)] - \frac{T(\omega_m - \Omega)}{4\pi} \ln [S_2(\Omega) + \varepsilon N_2(\Omega)] + \\ + \frac{T\omega_m}{4\pi} \ln [S_1(\omega_m) + \varepsilon N_1(\omega_m)]. \quad (15)$$

Полагая  $\mu \gg 1$  ( $\varepsilon \ll 1$ ), разложим (15) в ряд Маклорена по  $\varepsilon$  до первого члена разложения, зависящего от реализации наблюдаемых данных включительно и отбросим слагаемые, не зависящие от оцениваемого параметра  $\Omega$ . Тогда (12) можно представить в виде

$$M(\Omega) = \hat{S}(\Omega) + \hat{N}(\Omega), \quad (16)$$

$$\hat{S}(\Omega) = -\mu \left\{ \frac{\Omega}{\Omega_0} \ln S_1(\Omega) + \left( k_0 - \frac{\Omega}{\Omega_0} \right) \ln S_2(\Omega) \right\}, \quad (17)$$

$$\hat{N}(\Omega) = -\sqrt{\mu} \left\{ \frac{\Omega}{\Omega_0} \frac{N_1(\Omega)}{S_1(\Omega)} + \left( k_0 - \frac{\Omega}{\Omega_0} \right) \frac{N_2(\Omega)}{S_2(\Omega)} \right\}.$$

Согласно (17) сигнальная функция  $\hat{S}(\Omega)$  достигает наибольшего максимума, когда  $\Omega = \Omega_0$ . Следовательно, выходное отношение сигнал/шум можем записать как [2]:  $z^2 = \hat{S}^2(\Omega_0) / \langle \hat{N}^2(\Omega_0) \rangle = \mu \ln^2(1 + 1/q) / k_0$ . В дальнейшем полагаем, что  $\mu \gg 1$  и  $z \gg 1$ , так что оценки (9) и (10) обладают высокой апостериорной точностью. В этом случае, аналогично [3, 5], достаточно исследовать поведение случайного процесса (11) в малой окрестности точки  $\Omega_0$ . С увеличением  $\mu$  процесс (11) в малой окрестности  $\Omega_0$  может быть аппроксимирован марковским гауссовским процессом. Применяя затем метод локально-марковской аппроксимации [3], аналогично [5], находим выражения для условных смещения и рассеяния оценки полосы частот (10)

$$b_1(\tilde{\Omega} | \Omega_0) = \langle \tilde{\Omega} - \Omega_0 \rangle = \\ = \frac{2\pi}{Tq^2} \{ (1+q)^2 \Gamma_1^3 (2\Gamma_2 - \Gamma_1) - q^2 (\Gamma_2 - \Gamma_1)^3 (\Gamma_2 + \Gamma_1) \} \Gamma_1^{-2} \Gamma_2^{-2} (\Gamma_2 - \Gamma_1)^{-2}, \quad (18)$$

$$V_1(\tilde{\Omega} | \Omega_0) = \langle (\tilde{\Omega} - \Omega_0)^2 \rangle = \\ = \frac{8\pi^2}{T^2 q^4} \{ (1+q)^4 \Gamma_1^4 [2\Gamma_2^3 - (\Gamma_2 - \Gamma_1)^2 (2\Gamma_2 - \Gamma_1)] + q^4 (\Gamma_2 - \Gamma_1)^4 \times$$

$$\times [2 \Gamma_2^3 - \Gamma_1^2 (\Gamma_2 + \Gamma_1)] \} \Gamma_1^{-4} \Gamma_2^{-3} (\Gamma_2 - \Gamma_1)^{-4}, \quad (19)$$

где  $\Gamma_1 = 1 - q \ln(1 + 1/q)$ ,  $\Gamma_2 = \{(1 + 2q) \ln(1 + 1/q) - 1\}/q$ . В случае отсутствия широкополосной помехи  $v(t)$  параметр  $q = N_0 \Omega_0 / 4\pi D_0$  и выражения (18), (19) совпадают с аналогичными выражениями для условных смещения и рассеяния оценки полосы частот, найденными в [5]. Отметим также, что полученные выражения не зависят от истинного значения  $\Omega_0$  полосы частот случайного сигнала. Следовательно, условные смещение и рассеяние ОМП  $\tilde{\Omega}$ , когда  $\Omega_0 \in (\Omega_{\min}; \Omega_{\max})$ , асимптотически (при  $\mu \rightarrow \infty$ ) совпадают с соответствующими безусловными характеристиками.

При конечном интервале  $(\Omega_{\min}; \Omega_{\max})$  значений параметра  $\Omega_0$  рассеяние ОМП полосы частот должно быть ограничено, а теоретическое значение рассеяния (19) с увеличением  $q$  неограниченно возрастает. Уточним зависимости (18), (19) в области больших значений  $q$ . Для  $\mu \gg 1$  с увеличением  $q$  процесс  $M(\Omega)$  (16) является асимптотически винеровским. В [3] получено распределение положения наибольшего максимума винеровского процесса на конечном интервале. Используя результаты [3], находим, что при  $\mu/q^2 \ll 1$  смещение и рассеяние оценки ОМП полосы частот определяются выражениями

$$b_0(\tilde{\Omega} | \Omega_0) = (\Omega_{\min} + \Omega_{\max})/2 - \Omega_0,$$

$$V_0(\tilde{\Omega} | \Omega_0) = b_0^2(\tilde{\Omega} | \Omega_0) + (\Omega_{\max} - \Omega_{\min})^2/8.$$

Таким образом, результирующее выражение для условного рассеяния оценки полосы частот может быть записано в виде

$$V(\tilde{\Omega} | \Omega_0) = \min [V_0(\tilde{\Omega} | \Omega_0), V_1(\tilde{\Omega} | \Omega_0)], \Omega_0 \in (\Omega_{\min}; \Omega_{\max}).$$

Зададим границы априорного интервала полосы частот случайного сигнала как  $\Omega_{\min} = \omega_m \eta$ ,  $\Omega_{\max} = \omega_m (1 - \eta)$ ,  $\eta < 0,5$ . На рис. 3 приведены зависимости нормированного рассеяния  $\rho_1 = V(\tilde{\Omega} | \Omega_0) / \Omega_0^2$  от параметра  $q$  для различных значений параметров  $\eta$  и для  $\Omega_0 = (\Omega_{\min} + \Omega_{\max})/2$ . Кривые 1 построены для  $\eta = 0,1; 2 - 0,2; 3 - 0,3; 4 - 0,4$ . Для всех кривых  $\mu = 100$ ,  $k_0 = 2$ .

Рассмотрим теперь характеристики оценки дисперсии (9). Полагаем вначале, что величина параметра  $\Omega_0$  априори известна. Тогда в (9) следует полагать  $\tilde{\Omega} = \Omega_0$ . При этом характеристики оценки  $\tilde{D}$  определяются выражениями (3), (4) при  $\delta \Omega = 0$ . Считаем теперь, что величина параметра  $\Omega_0$  не известна. Из (4) следует, что при  $\tilde{\Omega} = \Omega_0$  и  $\mu \gg 1$  рассеяние оценки (9) имеет порядок малости

$\mu^{-1}$ . В то же время, при не слишком больших  $q$  рассеяние оценки (10) имеет порядок малости  $\mu^{-2}$ . Отсюда, аналогично [6], получаем, что характеристики оценки (9) при  $\mu \rightarrow \infty$  асимптотически совпадают с характеристиками оценки (2), найденными при известном  $\Omega_0$ . Следовательно, графики на рис. 1, 2 характеризуют выигрыши в точности совместной оценки дисперсии и полосы частот (9) и (10) по сравнению с оценкой дисперсии случайного сигнала (2) при  $\Omega^* \neq \Omega_0$ .

Для проверки работоспособности рассмотренных алгоритмов оценки дисперсии (2), (9) было проведено статистическое моделирование. Моделирование проводилось в частотной области и полагалось, что реализация наблюдаемых данных  $x(t)$  доступна обработке в течение интервала наблюдения  $[-T/2; T/2]$ . Для формирования функций (13), (14), (15) на ЭВМ перейдем к нормированному аргументу  $\tilde{\omega} = \omega / \Omega_{\max}$ . Тогда

$$M(\alpha) = \mu k_0 \ln \left[ \frac{L_1(k_0 \alpha_0)}{L_2(\alpha)} \right] + \frac{\mu \alpha}{\alpha_0} \ln \left[ \frac{L_2(\alpha)}{L_1(\alpha)} \right], \quad (20)$$

$$L_1(\alpha) = \frac{\mu}{\alpha q} \int_0^{\alpha/2} |\tilde{X}(\tilde{\omega})|^2 d\tilde{\omega}, \quad (21)$$

$$L_2(\alpha) = \frac{\mu}{(k_0 \alpha_0 - \alpha) q} \int_{\alpha/2}^{k_0 \alpha_0 / 2} |\tilde{X}(\tilde{\omega})|^2 d\tilde{\omega}, \quad (22)$$

где  $\tilde{X}(\tilde{\omega}) = 2 X(\tilde{\omega} \Omega_{\max}) / T \sqrt{D_0}$ ,  $X(\omega) = \int_{-T/2}^{T/2} x(t) \exp(-j \omega t) dt$  — спектр реализации  $x(t)$ ,  $\alpha = \Omega / \Omega_{\max}$ ,  $\alpha_0 = \Omega_0 / \Omega_{\max}$ . Соответственно алгоритм оценки полосы частот (10) может быть представлен как

$$\hat{\alpha} = \operatorname{argsup} M(\alpha), \quad \alpha \in [\eta / (1 - \eta); 1]. \quad (23)$$

Положим  $\Omega_0 = (\Omega_{\min} + \Omega_{\max}) / 2$ , тогда при заданном значении  $\eta$  нормированная полоса частот  $\alpha_0 = 1/2(1 - \eta)$ ,  $k_0 = 2$ . Для моделирования алгоритмов оценки необходимо формировать реализации случайного процесса  $\tilde{X}(\tilde{\omega})$  и на их основе вырабатывать функции (20), (21) и (22).

В процессе моделирования вырабатывались отсчеты случайного процесса  $\tilde{X}(\tilde{\omega})$  с шагом  $\Delta \tilde{\omega}$ . На основе сформированных дискретных последовательностей непрерывные реализации этого процесса аппроксимировались ступенчатой

функцией. Относительная среднеквадратичная погрешность аппроксимации определялась по формуле

$$\delta_X = \left\{ \max_{\tilde{\omega} \in \left( \tilde{\omega}^* - \frac{\Delta \tilde{\omega}}{2}; \tilde{\omega}^* + \frac{\Delta \tilde{\omega}}{2} \right)} \langle |\tilde{X}(\tilde{\omega}^*) - \tilde{X}(\tilde{\omega})|^2 \rangle \sigma_X^{-2} \right\}^{1/2} = \left\{ 2 [1 - R_X(\Delta \tilde{\omega} / 2)] \right\}^{1/2}. \quad (24)$$

Здесь  $\tilde{\omega}^*$  — одна из точек, в которых формировались отсчеты процесса  $\tilde{X}(\tilde{\omega})$ ,  $\sigma_X^2$  — его дисперсия, а  $R_X(\tilde{\omega})$  — коэффициент корреляции. В случае отсутствия сигнала  $s(t)$  и широкополосной помехи  $v(t)$  случайный процесс  $\tilde{X}(\tilde{\omega})$  является стационарным и обладает коэффициентом корреляции  $R_X(\tilde{\omega}) = \sin(2\pi\mu\tilde{\omega}/\alpha_0)/(2\pi\mu\tilde{\omega}/\alpha_0)$ . Тогда при шаге  $\Delta\tilde{\omega} = 0,1\alpha_0/\mu$  из (24) для среднеквадратичной погрешности аппроксимации имеем  $\delta_X < 0,2$ .

Рассмотрим формирование дискретных отсчетов случайного процесса  $\tilde{X}(\tilde{\omega})$ . Для этого представим  $\tilde{X}(\tilde{\omega})$  как  $\tilde{X}(\tilde{\omega}) = \tilde{X}_c(\tilde{\omega}) + j\tilde{X}_s(\tilde{\omega})$ , где  $\tilde{X}_c(\tilde{\omega}) = \operatorname{Re}\tilde{X}(\tilde{\omega})$ , а  $\tilde{X}_s(\tilde{\omega}) = \operatorname{Im}\tilde{X}(\tilde{\omega})$ . При достаточно большом времени наблюдения ( $\mu \gg 1$ ) справедливо представление

$$\tilde{X}_{c,s}(\tilde{\omega}) = \sqrt{\frac{\Omega_{\max}}{2\pi D_0}} \int_{-\infty}^{\infty} \sqrt{G_X(\tilde{\omega}' \Omega_{\max})} h(\tilde{\omega} - \tilde{\omega}') [\eta_1(\tilde{\omega}') \pm \eta_2(\tilde{\omega}')] d\tilde{\omega}', \quad (25)$$

где

$$G_X(\tilde{\omega} \Omega_{\max}) = 2\pi D_0 I(\tilde{\omega} / \alpha_0) / \Omega_0 + \gamma_0 I(\tilde{\omega} / k_0 \alpha_0) / 2 + N_0 / 2$$

— спектральная плотность случайного сигнала

$$x(t)(1), h(\tilde{\omega}) = \sin(2\pi\mu\tilde{\omega}/\alpha_0) / [2\pi\mu\tilde{\omega}/\alpha_0],$$

а  $\eta_1(\tilde{\omega})$  и  $\eta_2(\tilde{\omega})$  — независимые гауссовские случайные процессы с ненулевыми математическими ожиданиями и одинаковыми корреляционными функциями  $\langle \eta_i(\tilde{\omega}_1) \eta_i(\tilde{\omega}_2) \rangle = \delta(\tilde{\omega}_1 - \tilde{\omega}_2)$  ( $i = 1, 2$ ). При достаточно малом шаге  $\Delta\tilde{\omega}$  можно записать:

$$\begin{aligned} \tilde{X}_{c,s}(\tilde{\omega}_k) \approx & \sqrt{\frac{\Omega_{\max}}{2\pi D_0}} \sum_{i=-\infty}^{\infty} \sqrt{G_X(\tilde{\omega}_i \Omega_{\max})} h(\tilde{\omega}_k - \tilde{\omega}_i) \times \\ & \times \int_{\tilde{\omega}_i - \Delta\tilde{\omega}/2}^{\tilde{\omega}_i + \Delta\tilde{\omega}/2} [\eta_1(\tilde{\omega}') \pm \eta_2(\tilde{\omega}')] d\tilde{\omega}', \end{aligned} \quad (26)$$

где  $\tilde{\omega}_k = k \Delta \tilde{\omega}$ ,  $\tilde{\omega}_i = i \Delta \tilde{\omega}$ . Обозначим:

$$v_i = \int_{\tilde{\omega}_i - \Delta \tilde{\omega} / 2}^{\tilde{\omega}_i + \Delta \tilde{\omega} / 2} \eta(\tilde{\omega}') d\tilde{\omega}'$$

— независимые гауссовские случайные величины с ненулевыми математическими ожиданиями и дисперсиями  $\langle v_i^2 \rangle = \Delta \tilde{\omega}$ . Тогда  $v_i = x_i \sqrt{\Delta \tilde{\omega}}$ , где  $x_i$  — независимые гауссовские случайные величины с нулевыми математическими ожиданиями и единичными дисперсиями. Заменяя в (26) бесконечные пределы суммирования на конечные, получаем:

$$\tilde{X}_{c,s}(\tilde{\omega}_k) \approx \sqrt{\Delta \tilde{\omega} / \alpha_0} \sum_{i=-p}^p \sqrt{q + I[(k-i) \Delta \tilde{\omega} / \alpha_0]} h(\tilde{\omega}_i) (x_{k-i} \pm \hat{x}_{k-i}), \quad (27)$$

где  $\hat{x}_i$  — независимые гауссовские случайные величины с нулевыми математическими ожиданиями и единичными дисперсиями. При выбранном шаге дискретизации число слагаемых в (27) определялось таким образом, чтобы при отсутствии сигнала  $s(t)$  и широкополосной помехи  $v(t)$  относительное отклонение дисперсии сформированного отсчета  $\langle \tilde{X}_{c,s}^2(\tilde{\omega}_k) \rangle$  от дисперсии самого процесса  $\sigma^2 = \langle \tilde{X}_{c,s}^2(\tilde{\omega}) \rangle$  не превышало заданную величину, то есть  $|1 - \sigma^{-2} \langle \tilde{X}_{c,s}^2(\tilde{\omega}_k) \rangle| < \epsilon$ . Для обеспечения величины  $\epsilon = 0,02$  необходимо положить  $p = 2 \alpha_0 / \mu \Delta \tilde{\omega}$ .

По сформированным согласно (27) ступенчатым аппроксимациям процессов (25) вычислялись аппроксимации интегралов (21), (22)

$$L_1(\alpha) = [\mu \Delta \tilde{\omega} / \alpha q] \sum_{k=1}^N [\tilde{X}_c^2(\tilde{\omega}_k) + \tilde{X}_s^2(\tilde{\omega}_k)], \quad (28)$$

$$L_2(\alpha) = [\mu \Delta \tilde{\omega} / (k_0 \alpha_0 - \alpha) q] \sum_{k=N+1}^M [\tilde{X}_c^2(\tilde{\omega}_k) + \tilde{X}_s^2(\tilde{\omega}_k)], \quad (29)$$

где  $N = \text{int}(\alpha / 2 \Delta \tilde{\omega})$ ,  $M = \text{int}(k_0 \alpha_0 / 2 \Delta \tilde{\omega})$ , а  $\text{int}(\cdot)$  — целая часть числа. В результате подстановки аппроксимаций (28), (29) интегралов (21), (22) в (20) формировался логарифм ФОП. Затем, согласно (23) определялось ОМП  $\alpha$  нормированной полосы частот сигнала и вычислялись значения оценок дисперсии (2) и (9). Для каждой сформированной в процессе моделирования реализации (28), (29) интегралов (21), (22) оценки дисперсии вычислялись по формулам

$$\hat{D} = D_0 (\delta \Omega + 1) q [L_1 [\alpha_0 (\delta \Omega + 1)] - L_2 [\alpha_0 (\delta \Omega + 1)]]$$

— для квазиправдоподобной оценки (2) и  $\tilde{D} = D_0 \hat{\alpha} q [L_1 (\hat{\alpha}) - L_2 (\hat{\alpha})] / \alpha_0$  — для ОМП дисперсии (9).

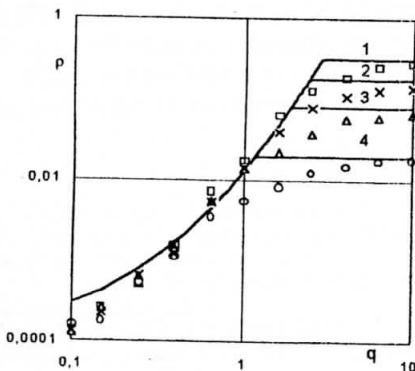


Рис. 3

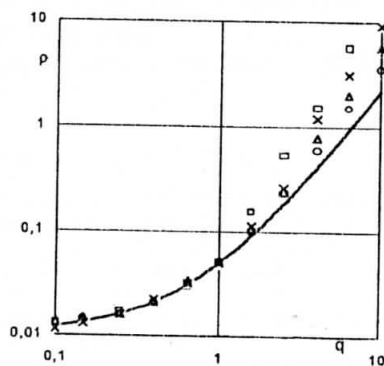


Рис. 4

Моделирование проводилось при значениях параметров  $\mu = 100$ ,  $\Delta \tilde{\omega} = 10^{-3} \alpha_0$ ,  $p = 20$ . Для каждого значения параметров  $k_0$ ,  $\eta$ ,  $q$ ,  $\delta \Omega$  было проведено от 500 до 2000 циклов испытаний. По результатам моделирования алгоритмов оценки дисперсии (2), (9) вычислялось экспериментальное значение отношения рассеяния оценки дисперсии (2) к рассеянию совместной оценки (9). Полученные экспериментальные значения нанесены на рис. 1, 2. На рис. 3 показаны экспериментальные значения нормированного рассеяния  $\rho_1 = V(\tilde{D} | \Omega_0) / \Omega_0^2$  ОМП (10) полосы частот. Кроме того, для определения области, в которой характеристики совместной оценки дисперсии и полосы частот (9), (10) можно аппроксимировать характеристиками оценки дисперсии случайного сигнала с априори известной полосой частот, на рис. 4 показаны теоретическая и экспериментальная зависимости нормированного рассеяния оценки дисперсии (9)  $\rho_2 = V(\tilde{D} | D_0) / D_0^2$  от  $q$  для значений параметров  $\mu = 100$ ,  $k_0 = 2$ . Экспериментальные значения на рис. 3, 4 обозначены: прямоугольники — для  $\eta = 0,1$ , крестики — 0,2, треугольники — 0,3, кружочки — 0,4.

Из анализа рис. 1, 2, 4 видно, что при значениях параметров  $q \leq 1$  использование совместной ОМП дисперсии и полосы частот случайного сигнала позволяет почти полностью компенсировать проигрыш в точности оценки дисперсии, возникающий из-за априорного незнания полосы частот. Кроме

того, из рис. 3 следует, что моделирование показало удовлетворительное согласование теоретических характеристик оценки полосы частот с экспериментальными для  $q > 0,1$ . Моделирование также показало удовлетворительное согласование полученных в [1] теоретических характеристик оценки дисперсии (2) с экспериментальными и подтвердило работоспособность рассмотренных алгоритмов оценки дисперсии случайного сигнала.

Приведенные результаты получены при поддержке Российского фонда фундаментальных исследований.

#### БИБЛИОГРАФИЧЕСКИЙ СПИСОК

1. Трифонов А. П., Алексеенко С. П. Квазигравдоподобная оценка дисперсии стационарного гауссовского случайного процесса // Радиоэлектроника.— 1994.— № 11.— С. 10—18. (Изв. высш. учеб. заведений).
2. Куликов Е. И., Трифонов А. П. Оценка параметров сигналов на фоне помех.— М. : Сов. радио, 1978.— 296 с.
3. Трифонов А. П., Шинаков Ю. С. Совместное различение сигналов и оценка их параметров на фоне помех.— М. : Радио и связь, 1986.— 264 с.
4. Куликов Е. И. Методы измерения случайных процессов.— М. : Радио и связь, 1986.— 272 с.
5. Трифонов А. П., Галун С. А. Прием случайного сигнала с неизвестной шириной спектра мощности // Радиотехника и электроника.— 1982.— Т. 27.— № 8.— С. 1554—1562.
6. Трифонов А. П., Захаров А. В. Теоретическое и экспериментальное исследование оценок параметров случайного сигнала с неизвестными моментами появления и исчезновения // Радиотехника и электроника.— 1996.— Т. 41.— № 8.— С. 972—978.

Воронежский госуниверситет.

Поступила в редакцию 05.01.98.

УДК 621.396.677

КОМАРОВИЧ В. Ф., МАРЧУК Л. А., ПРАСЬКО А. Д.

#### МЕТОД СИНТЕЗА АЛГОРИТМОВ АДАПТИВНОЙ ФИЛЬТРАЦИИ СИГНАЛОВ С НЕТОЧНО ИЗВЕСТНЫМИ ПРОСТРАНСТВЕННЫМИ ПАРАМЕТРАМИ

Предложен метод синтеза алгоритмов адаптивной пространственной фильтрации, обеспечивающих при наличии ошибок в определении направления прихода полезного сигнала значение отношения сигнал/(помеха+шум) на выходе адаптивной антенной решетки, близкое к потенциально достижимой величине.

Известно, что одним из путей повышения эффективности систем радиосвязи является применение адаптивных антенных решеток (AAP), обеспечивающих подавление помех, совпадающих по несущей частоте и форме спектра с полезным сигналом. Для максимизации отношения сигнал/(помеха+шум) (ОСПШ) на выходе AAP необходимо иметь точные априорные данные о